

## 二成分合成波の 3 次近似理論の適用範囲

名古屋大学工学部 正会員 富田 孝史  
 名古屋大学大学院 ○ 学生員 竹下 伸治  
 名古屋大学工学部 正会員 岩田好一郎

1. はじめに：波浪制御の対象となる海域の持つ特性を正確に予測することは波浪制御施設を設計、施工する上で極めて重要なことである。不規則な波浪の特性を非線形効果も含めて検討する前段階として、不規則波のうちの 2 つの成分を取り上げた二成分波を対象とし、誘導した浅海域の二成分合成波の 1 次から 3 次近似理論の適用範囲を解析的に明らかにするとともに、水理実験によってそれを検証するものである。

2. 結果及び考察：二成分合成波の 3 次の近似理論の水位変動の表示式は次のように示される。<sup>1)</sup>

$$\begin{aligned} \eta = & A_{11} \cos \theta_1 & + A_{12} \cos \theta_2 \\ & + A_{21} \cos 2\theta_1 & + A_{22} \cos(\theta_1 + \theta_2) + A_{23} \cos(\theta_1 - \theta_2) + A_{24} \cos 2\theta_2 \\ & + A_{31} \cos 3\theta_1 & + A_{32} \cos(2\theta_1 + \theta_2) + A_{33} \cos(2\theta_1 - \theta_2) \\ & + A_{34} \cos(\theta_1 + 2\theta_2) + A_{35} \cos(\theta_1 - 2\theta_2) + A_{36} \cos 3\theta_2 \end{aligned} \quad (1)$$

ここで、 $\eta$  は水位変動、 $\theta_i = k_i x - \sigma_i t$ 、 $k_i, \sigma_i$  ( $i=1, 2$ ) はそれぞれ二成分合成波の 2 つの基本波の波形勾配の大きい方の波を Wave 1、小さい方の波を Wave 2 と定義したときの波数と角周波数であり、Wave 1 のものは  $i=1$  Wave 2 は  $i=2$  である。

まず、 $m=A_{12}/A_{11}=1, n=k_2/k_1=0.8$  の場合の二成分合成波の 3 次近似理論の最大振幅に対する各オーダーの最大振幅を図-1 に示す。縦軸は  $H/gT^2$  ( $H$ : 二成分合成波の最大波高,  $g$ : 重力加速度,  $T$ : 二成分合成波の平均周期), 横軸は  $h/gT^2$  ( $h$ : 静水深) である。同図(a)から 2nd オーダーの成分波の振幅はほとんどの領域で最大波高の 15% 未満であるが、同図(b)の 3rd オーダーの成分波の最大振幅が二成分合成波の最大振幅に占める割合は、 $H/gT^2$  の増加とともに急激に増大する傾向にある。

また、上述の評価方法とは別の方法として、運動学および力学的自由表面境界条件を満足する最小オーダーの理論の検討から 1 次、2 次、3 次理論の適用限界を求めた。ここでは、近似理論が自由表面境界条件を満足する程度を自由表面の境界条件に近似解を代入したときに生じる誤差によって評価する。ここで、運動学的境界条件と力学的境界条件における誤差を、それぞれ次のように無次元化する。

$$\gamma_k = (\eta_t + \phi_x \eta_x - \phi_z) / C_1 \quad (2), \quad \gamma_d = \{ \phi_t + 1/2(\phi_x^2 + \phi_z^2) + g\eta - R \} / gH_1 \quad (3)$$

$C_1, H_1$  は Wave 1 の 1st オーダーの波速と波高である。この無次元誤差  $\gamma_k, \gamma_d$  の時間変動の r. m. s. 値がそれぞれ  $0.02^{1)}$  以下と設定し、これを満足する最小のオーダーの近似理論の範囲をそれぞれ求め、次に同じ計算条件に対する 2 つの近似解の適用範囲を比較して、2 つの自由表面境界条件から得られる適用限界のうちの高次の方を採用することから、各近似解の適用限界を求めた。図-2 は、 $m=1, n=0.8$  の場合の近似理論の適用範囲を縦軸に  $H/gT^2$ 、横軸に  $h/gT^2$  をとり示したものである。図中の例えば②で示される領域は 2 次近似理論の適用範囲である。この図で示した条件では、3 次近似理論の適用範囲は  $(H/gT^2, h/gT^2) = (3.0 \times 10^{-2}, 1.0 \times 10^{-1})$  を中心としたごく限られた領域にのみ存在している。

次に、水理実験と近似理論の水位変動の時間波形の比較から、1 次近似理論から 3 次近似理論の中で 3 次近似理論が最も実験波形と相関が高い場合の実験条件を検討した結果、3 次近似理論と相関の高い実験ケースは図-2 の 3 次近似理論の適用範囲内にあるが、これ以外にも 2 次近似理論の適用範囲内にも幅を持って分布し、図-1 (b) と比較すると 3rd オーダーが最大波高の 5~15% 程度になる範囲の上に存在していることが認められた。逆に図-1 (b) の 15% より大きくなると 3rd オーダーの項が大きくなりすぎて実験結果との相関悪くなった。

以上の検討から図-3 に水理実験結果も考慮した二成分合成波の 3 次近似理論の適用範囲を示す。この図は図-2 の特に非線形干渉を考えなければならぬ 2 次近似理論以上の適用範囲の上に図-1 (b) の 3rd オーダーが 5~15% 程度になる領域を重ねたものである。この領域においても 3 次近似理論を用いることが望ましいと考えられる。図中○印は実験結果より得られた水面波形と 3 次近似理論の相関がよい点である。

水面の時間波形に対し 3 次近似理論が必要になる 1 例を図-4 に示す。このような波は波高が比較的大きくその波形の峯が尖り波谷が平坦になっている。これは有限振幅性の強い波どうしが合成されたとき、その波形に非線形干渉による影響が強く表れてたためと考えられる。

3. おわりに：本研究は二成分合成波の特性を明らかにする目的から、まずこれに用いる近似理論の適用範囲について検討を加えた。今後は更に、水位変動と水粒子速度の特性を明かにし、二成分合成波の群速度の特性を明らかにする所存である。

参考文献：1) 富田孝史：有限振幅部分重複波の特性に関する基礎的研究，名古屋大学大学院工学研究科，博士論文，1992

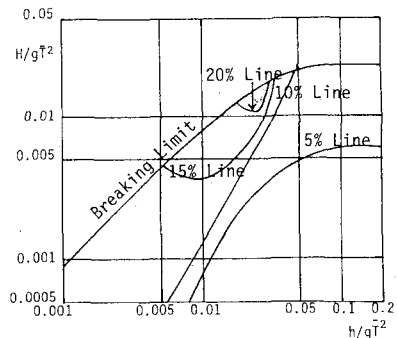


図-1 (a) 3次近似理論の最大振幅に対する2ndオーダーの最大振幅の分布

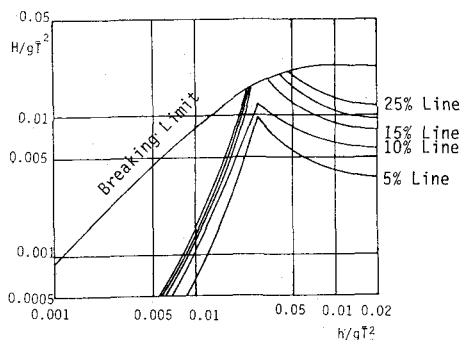


図-1 (b) 3次近似理論の最大振幅に対する3rdオーダーの最大振幅の分布

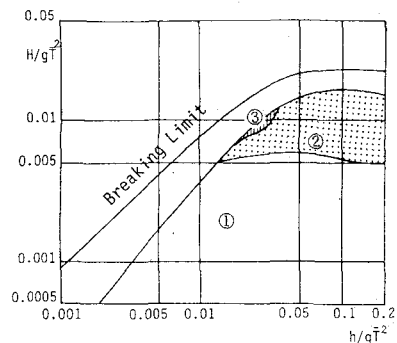


図-2 自由表面境界条件より求めた近似解の適用限界

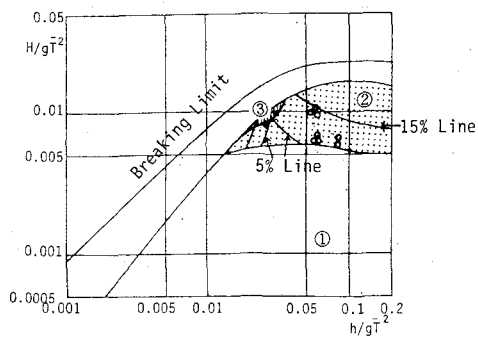


図-3 水理実験結果を考慮した近似解の適用限界

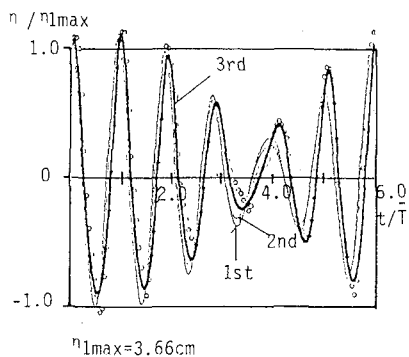


図-4 3次近似理論を必要とする水面波形

- η<sub>1</sub> 1次近似理論の最大振幅
- 細実線 1次近似理論
- 破線 2次近似理論
- 太実線 3次近似理論
- 印 実験値